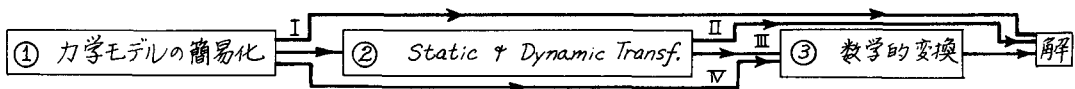


京都大学工学部 正員 ○渡辺英一
京都大学工学部 正員 丹羽義次

1. はじめに

離散化手法を用いる場合は幾何学的、材料的非線形問題の解析にあたり、それそれ幾何学的非線形剛性行列要素と材料的非線形剛性行列要素の作成が必要であり、ともに global な剛性行列の合成とその逆行列の計算が多数回行われねばならない。そこで筆者らはつぎのような3段階の簡易化を提案している。



①はモデル要素の簡易化であり、これによって幾何学的非線形行列要素の自由度の遮断²⁾や弾塑性解析における塑性域の広がりの離散化と簡略化³⁾に役立つ。

②は与えられた多自由度問題を消去や繰返し演算によって小さな自由度の問題に直すものである

③はフーリエやラプラス変換などに対応するものであり、モーダルアナリシスは良い例である。

筆者らの提案するのは特に①, ③であり、ここでは Procedure の I, IV について述べてみる。ただし、非常に大きな問題の解析においては③の段階のための準備として②も必要となろう。①の段階に関しては筆者らは棒材や板材の解析において独自のモデル、SEM (Simplified Element Method) モデルを考えて来たが、これは棒モデルに関しては FDM (差分) と全く同一の結果を得ているし、板モデルに関しては、曲げに対して剛ではあるが擦り変形を許す要素と曲げ、擦りを同時に受けるバネの組み合せを考え、FDM に結果的には類似した結果を得ている。なお、類似した手法として文献 [6] のものが有るが、SEM とはかなり異っている。

問題の定式化は既に文献 [1, 2, 3] に発表しているのでここでは再び式を書き下すことは割愛する。一口で proc IV を説明すればこうである。①の自由度で当該の固有値問題を解き(あるいは利用して)その隙得られるモーダルマトリックス 並用し、③を行うというものである。以下、数値計算例を示してみる。

2. 等分布荷重を受ける正方形板の弾塑性曲げ³⁾

SEM モデルを用いた。モデルの支持条件は (i) 全辺単純支持 (SS+SS), (ii) 相対する 2 辺が単純、他 2 辺が固定支持 (SS+CL) (iii) 全辺固定支持 (CL+CL)とした。Fig. 1 は正方形板の中央の点の弾塑性たわみを求めたものであり、SEM モデルの分割の影響をみたものである。厳密解としては Timoshenko の級数解を採用した。

つぎに、板はサンドウェッチ構造とみなして弾塑性解析を行ったが、単純支持板の自由振動モードを並にとり数学的低次元化を行った。その結果このような簡単な場合は 9 以内の自由度で充分解析できることが判った。(数学的低次元化を行わない場合と比較して)さて Procedure IV で解析した (i) SS+SS (ii) SS+CL, (iii) CL+CL の正方形板の崩壊機構は Fig. 2 のように求められた。なお分割は 8×8 (D.O.F. = 49) であった。

つぎに、このようにして求めた崩壊荷重を Table 1 と Table 2

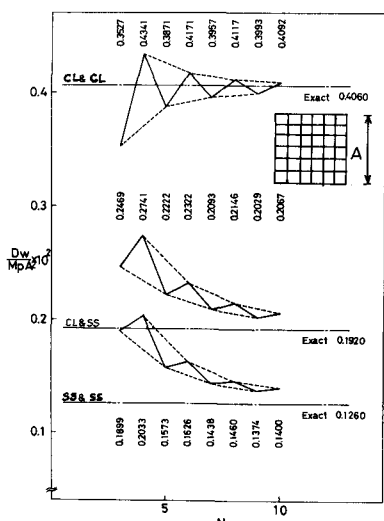


Fig. 1. Convergence of Central Defl.

に示す。ここに、バネに作用する曲げモーメントおよび振りモーメント(等価な)をそれぞれ
 M と T で表わし、降伏条件は単に
 $M^2 + \beta T^2 = M_p^2$ としている。 $(\beta=3, 4)$
 M_p はバネの塑性モーメントである。そして
 $M_p = m_p A$: m_p は単位長当たりの塑性モーメント

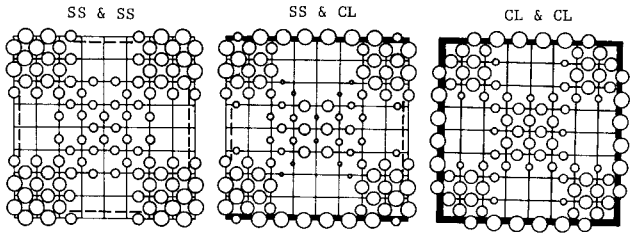


Fig. 2. Sequence of Plastification of Square Plates.

Table 1. Available Solution for Limit Load. Clamped Plate.

Author	Yield Criterion			$SEM \& M^2 + BT^2 = M_p^2$
	Johansen	Tresca	von Mises	
Wolfsberger	1.558			
Sawczuk & Jaeger	2.000			
Ranaweera & Leckie	1.553-1.682	1.710-1.844		
Mansfield	1.783			
Koopman & Lance	1.596-1.708			
Jones	1.833			
Hodge & Belytschko		1.786-2.052		
Lopez & Ang		1.901		
Bhamik & Hanley	1.746	1.56	1.740	
Armen			2.590	
Wegmuller			1.865-2.220	
Wood			1.804	
Present Analysis				$\frac{q A^2}{24m p}$
3 x 3		2.062	2.005	$\frac{q A^2}{3 \times 3}$
4 x 4		1.835	1.812	$\frac{q A^2}{4 \times 4}$
5 x 5		1.830	1.782	$\frac{q A^2}{5 \times 5}$
6 x 6		1.778	1.725	$\frac{q A^2}{6 \times 6}$
7 x 7		1.771	1.738	$\frac{q A^2}{7 \times 7}$
8 x 8		1.806	1.759	$\frac{q A^2}{8 \times 8}$
9 x 9		1.745	1.703	$\frac{q A^2}{9 \times 9}$
10 x 10		1.764	1.719	$\frac{q A^2}{10 \times 10}$

Table 2. Available Solution for Limit Load. Simply Supported Square Plate.

Author	Yield Criterion			$SEM \& M^2 + BT^2 = M_p^2$
	Johansen	Tresca	von Mises	
Wolfsberger	0.945			
Sawczuk & Jaeger	1.000			
Ranaweera & Leckie		0.920-0.961	0.995-1.044	
Shull & Hu		0.826-1.000		
Koopman & Lance		0.964-1.000		
Hodge & Belytschko			1.036-1.106	
Prager	1.000			
Lopez & Ang			1.031	
Bhamik & Hanley	1.041	0.922	1.000	
Armen			1.137	
Wegmuller			0.982	
Present Analysis				$\frac{q A^2}{24m p}$
				$\frac{q A^2}{6 \times 3} \quad \frac{q A^2}{8 \times 4}$
				1.154 1.067
				1.026 0.955
				1.071 0.972
				1.003 0.952
				1.020 0.973
				1.032 0.990
				1.010 0.956
				1.072 1.026

3. 圧縮を受ける正方形板の後座屈挙動解析²⁾

Fig. 3 に示されたような支持条件下の正方形板を解析した。この解析はとりあえず Procedure I に当たった。なお、棒部材の Elastica についての Procedure IV による解析に関しては文献[ス]で報告されている。この Fig. 3 は荷重辺が直線を保ちつつ互いに平行に近づく正方形板の後座屈挙動である $U/U_{cr} - W/h$ 関係を示している。点線は Mansfield の損傷第一次解を与えるものである。この計算では SEM の使用により高次の非線形行列の計算が著しく軽減され、時間的にも容量的にも効果的であった。(FEMによる解析と比較して)

その他の例については発表当日に詳述する予定である。より複雑な問題においては各種の省力化、すなわち Procedure III が必要だ。

4. 文献

- 1) 丹羽・渡辺: 弾塑性・有限変位解析におけるサブスペース法の応用について、昭52年土木学会第32回年譲 I-95, 1977.
- 2) 立石・丹羽・渡辺: 幾何学的非線形問題における低次元化について、昭53年土木学会関西支部年譲 I-14, 1978.
- 3) 景山・丹羽・渡辺: 材料的非線形問題における低次元化手法、昭53年土木学会関西支部年譲 I-15, 1978.
- 4) 松石正克: 座屈に対する補強材の効果に関する研究、日本造船学会秋期講演会、1972.
- 5) Kuhar, E.J. & C.V. Stahle: Dynamic Transformation Method for Modal Synthesis, AIAA Journal, Vol. 12, No. 5, 1974.
- 6) Kawai, T.: New Element Models in Discrete Structural Analysis, Proc. Naval Arch. & Shipbuilding in Japan, Vol. 141, 1977.
- 7) Mansfield, E.H.: The bending and stretching of plates, Pergamon Press, 1964.

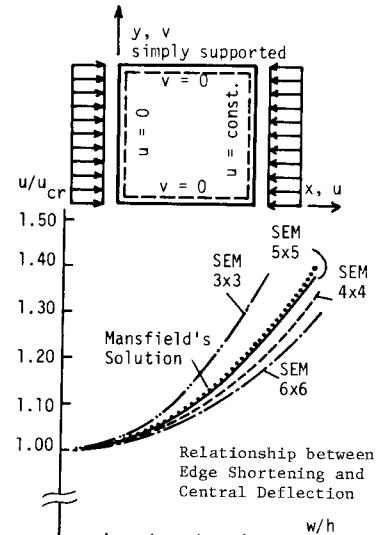


Fig. 3. Postbuckling of Square Plates.

* 例えば、中心圧縮柱の後座屈解析では SEM 8 分割 (D.O.F.=7) で $U/U_{cr} - W/h$ 関係は厳密(error<1%)

<D.O.F.=39> <D.O.F.=4> <D.O.F.=9> <D.O.F.=16> <D.O.F.=25>

** 座屈荷重の誤差は FEM(ACM) 4x4 2" -5.9%, SEM 3x3 2" -4.3%, SEM 4x4 2" -2.9%, 同 5x5 2" (-2.1%), 6x6 (1.6%)